ЛИТЕРАТУРА

- 1. Cattertil R. M. J. United Patent Office, 3518427, 1970.
- Bond W. L. Duggay M. A., Rentzepis P. M. Appl. Phys. Lett., 10, 216 (1967).
- Kolpakov A. V., Kuzmin R. N., Ryaboy V. M. J. Appl. Phys., 41. 3549 (1970).
- 4. Ростомян А. Г., Месропян М. А. А. с. 1390550. БИ. 1988. № 15.
- 5. Fingerland A. Acta ergst. A27. 280 (1971).
- 6. Ростемян А. М., Ростомян А. Г. Деп. в Арм. НИИНТИ, Е., 1987. № 21—Ар.
- 7. Bearden J. A. Rev. Mod. Phys., 1967. v. 31. N. 1.
- Ростомян А. Г. и др. Межвузовский сборник научных трудов. Е., 1987. Т. 8—9. с. 14—23.
- 9. Блохин М. А. Физика рентгеновских лучей. М., 1957, с. 518.
- 10. Shah S. M., Das Gupta K. J. Phys. Soc. Japan, 37, 1069 (1974).

ՌԵՆՏԳԵՆՅԱՆ ՑԻԿԼԱՅԻՆ ՍԱՐՎՈՂ ՄՈՆՈՔՐՈՄԱՏՈՐՆԵՐ

U. 2. Uburnasuz, U. 2. Apusausut

Գիտարկված են սիմետրիկ և ոչ սիմետրիկ անդրադարձումներով հատվող հետագծով քառանիստ ցիկլային սարվող մոնոքրոմատորներ։ Հաջվված են տարբեր թվով ցիկլերից հետո սիլիցիումի մոնոքրոմատորներում կաղմավորված փնչերի մոնոքրոմատիկության և զուգամիտության աստիճանները։ Պատրաստված են սիլիցիումի սարվող ցիկլային մոնոքրոմատորներ և կատարված են հաշվարկների արդյունքները հաստատող փորձեր։

TUNABLE CYCLIC X-RAY MONOCHROMATORS M. H. MESROPYAN, A. H. ROSTOMYAN

Tunable cyclic four- block monochromators with intersecting trajectories and symmetric and asymmetric reflections are considered. The degrees of monochromatization and collimation of beams formed in silicon monochromators after different numbers of cycles are calculated. The tunable cyclic silicon monochromators were constructed and the results of experiments carried out with their help well agreed with calculations.

Изв. АН Армении, Физика, т. 26, вып. 2, 77-82 (1991)

УДК 537.548.734.538.22

МЕТОДЫ ПОЛУЧЕНИЯ МОНОКРИСТАЛЛОВ, ОПТИЧЕСКИЕ И РЕНТГЕНОСТРУКТУРНЫЕ ИССЛЕДОВАНИЯ ФЕРРОМАГНИТНЫХ СОЕДИНЕНИЙ НА ОСНОВЕ МЕТАЛЛОФТАЛОЦИАНИНОВ, ДОПИРОВАННЫХ НАТРИЕМ

Э. Г. ШАРОЯН, М. В. СИМОНЯН, С. С. ТЕРЗЯН, В. Э. ШАРОЯН

Институт физических исследований АН Армении

(Поступила в редакцию 6 мая 1990 г.)

Для получения монскристаллов на основе металлофталоцианинов и щелочных металлов разработаны два метода. Исследованы оптические спектры и рентгенограммы поликристаллических образцов β-СоРс и проявляющих ферромагнитные свойства соединений, полученных при допиронии β-СоРс натрием и при его термическом разложении соответственно. Ранее мы сообщали о синтезе и исследованиях новых ферромагнитных материалов на основе органических (металлоорганических) соединений [1—3]. Соединения ряда металофталоцианинов MPc, где M=Ni, Co, Fe, Mn и $Pc \equiv C_{32}H_{16}N_8$, допированные щелочными металлами Na, K, Rb и Cs, проявляют ферромагнитные свойства при комнатной температуре и выше. В [1—3] ферромагнитные образцы получены в виде мелкодисперсных поликристаллических образцов и тонких пленок. Для изучения кристаллографической и магнитной структуры, для выяснения природы магнетизма в этих соединениях, в настоящей работе проведены некоторые исследования, ставящие перед собою цель получить ферромагнитные монокристаллы этих соединений и провести соответствующие рентгенографические измерения.

Для получения монокристаллов комплексов [MPc—xNa] нами опробированы 2 метода. В 1-ом методе кристаллизация комплексов осуществлялась благодаря непрерывному потоку молекул MPc и атомов Na из газовой фазы. Мелкодисперсный поликристаллический MPc и ампула с металлическим Na помещались в трубку из пирекса диаметром 10 мм и длиной 20—40 см. Затем трубка откачивалась до давления 10⁻³ Торр, заполнялась аргоном до давления 150 Торр при комнатной температуре и отпаивалась. Ампула помещалась в ростовую установку, схема которой приведена на рис. 1. Она представляет собою двухзонную печь с регулируемым температурным режимом, позволяющим получать V-образные температурые распределения на расстоянии 4 см. Распределение температуры вдоль ампулы для двух разных режимов I и II представлены на рис. 1. Температурный режим поддерживался постоянным с точностью ±5°C, продолжительность экспериментов 20—25 ч. В результате соконденсации паров MPc и Na получены:

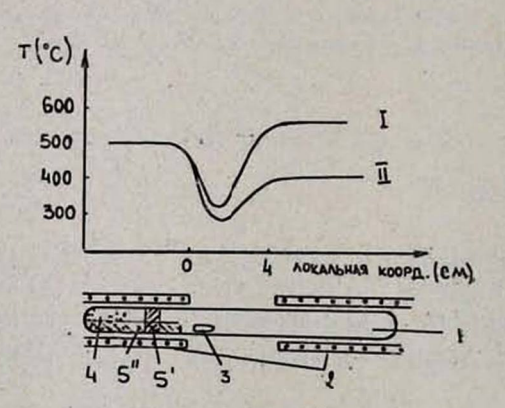


Рис. 1. Схема установки для получения монокристаллов [MPc-Na] и распределения температуры вдоль ампулы: 1—пирексовая ампула, 2—нагреватели, 3—металлический натрий, 4—поликристаллический МРс, 5'—зона образования пленки, 5"—зона роста монокрсталлов [MPc-Na].

[—] пленки [NiPc—Na] в зоне 5', при температурном режиме, описываемом кривой I.

[—] монокристаллы [NiPc—Na], [ZnPc—Na] в зоне 5", при температурном режиме, описываемом кривой II.

Как пленки, так и монокристаллы имели зеленый цвет, характерный для втой модификации. Размеры монокристаллов $0.01\times0.1\times1$ мм³. Монокристаллы этой—«высокотемпературной» или «зеленой»—модификации, в частности [NiPc-Na], не обладали ферромагнитными свойствами и потому мы обратились к другому способу получения монокристаллов [MPc-xNa].

Второй метод заключается в допировании уже выращенных моножристаллов *MPc* парами щелочных металлов. Ампулы с металлическим *Na* и монокристаллами, вакуумированные до 10⁻³—10⁻⁴ Торр, помещались в установках, схема одной из которой показана на рис. 2.

Температурный градиент (рис. 2) позволяет исследовать процесс допирования при разных температурах монокристаллов MPc. Исследована зависимость магнитных и кристаллических свойств от температуры и времени допирования парами Na. Были проведены эксперименты с различными временами допирования: t=40 мин, 1 ч. и 1,5—2 ч.

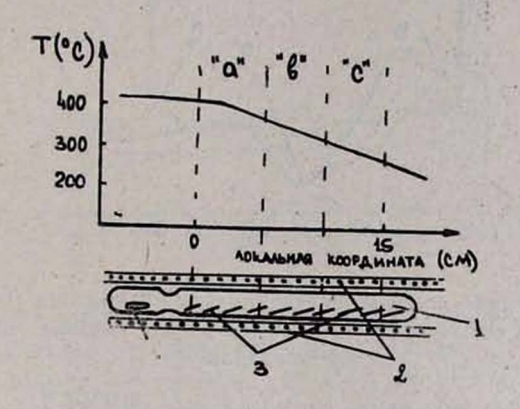


Рис. 2 .Схема установки для допирования монокристаллов МРс парами натрия и распределение температуры вдоль ампулы. 1—пирексовая ампула, 2—нагреватель, 3—монокристаллы МРс, 4—металлический Na.

Установлено, что:

— при T=270—310°C (вона «с») допирование протекает очень медленно или практически отсутствует.

— при T=320-360°C (зона «в») происходит сильное разрушение монокристаллов. Кусочки разрушенных кристаллов обладают ферромагнитными свойствами начиная с t=40 мин.

— при T=360—410°C (зона «а») монокристаллы приобретают ферромагнитные свойства при $t\geqslant 40$ мин. Однако кристаллы становятся рыхлыми и чернеют в зависимости от времени допирования. В дебаеграммах ферромагнитного [CoPc—xNa], полученного допированием монокристалла CoPc при T=400°C в течение 1 ч., видны пики с 20=30,0; 30,96; 35,81; 44,78°. Очевидно, что при больших степенях допирования имеет место разрушение монокристаллов MPc и превращение их в поликристаллы комплексов.

Перейдем к оптическим и рентгенографическим исследованиям, которые проведены с поликристаллическими образцами.

Для проведения оптических измерений образцы исследуемых соединений разбавлялись в вазелине и наносились в виде пленок на оптические стекла. Спектры сняты на спектрометре «Хитачи»—в интервале длин волн 200-900 нм. На рис. 3 приведены спектры исходного $\beta-CoPc$ —кривая I и образцов [CoPc-xNa], полученных после допирования $\beta-CoPc$ при $T\simeq 400^{\circ}$ С в течение 40 и 60 мин—кривые 2 и 3 соответственно. Полосы поглощения Q, B, N, L на кривой I обусловлены $\pi\to\pi^*$ электронными переходами фталоцианинового кольца и хорошо совпадают с литературными данными [4, 5]. Измененные спектры после допирования можно соотнести к моно- и дианионам CoPc соответственно [5]. Из сопоставления магнитных и оптических характеристик делается заключение, что образцы [CoPc-xNa] приобретают ферромагнитные свойства при $x \geqslant 1$.

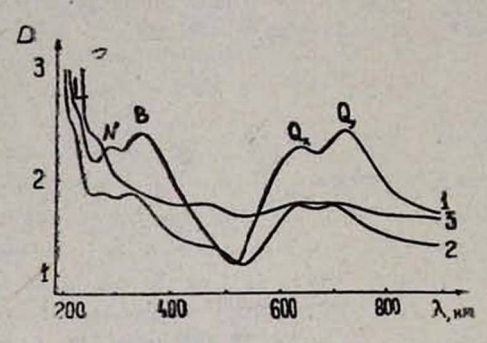


Рис. 3. Оптические спектры поглощения β-СоРс—кривая 1 и [СоРс— Na]—кривые 2 и 3 соответствуют временам допирования 40 и 60 мин соответственно.

Рентгенограммы получены на установке ДРОН-3 с использованием излучения СиКа, $\lambda = 1,5405 \, \text{Å}$. На рис. 4 представлены дифрактограммы 3-х образцов: 1-ая—относится к поликристаллическому СоРс в-модификации, дифрактограммы 2 и 3 относятся к образцам, которые проявляют ферромагнитные свойства. Кривая 2 соответствует образцу [CoPc—xNa]. полученному в результате допирования исходного в-СоРс натрием в течение 2 часов при $T_{CoPe} = 400$ °C. Кривая 3—дифрактограмма в = СоРс после пиролиза. Термическое разложение в-СоРс осущепри температурах 570-590°С в течение 4-6 часов. Пиролиз проходил в атмосфере аргона, который в течение времени вытеснялся воздухом. На дифрактограмме 3 полностью отсутствуют карактерные пики в-СоРс. Проявленные дифракционные пики с 20 = 43,4; 44,3; 51,6° в точности совпадают с наиболее интенсивными пиками металлического кобальта кубической и гексагональной модификации. Таким образом, наряду с термическим разложением В-СоРс, имеет место объединение атомов Со в кристаллиты, линейные размеры которых (исходя из анализа ширины линий дифрактограмм [6]) не менее чем 104А.

Из сравнения кривых 1 и 2 рис. 4 следует, что все основные пики исходного β —CoPc наблюдаются и в [CoPc—xNa], однако они заметно уширены, особенно пики, характеризующие дальный порядок (малые θ). Это уширение, по-видимому, обусловлено разупорядочивающим воздей-

ствием ионов Na в кристаллической решетке β —CoPc. На дифрактограмме 2 ясно видны два достаточно интенсивных новых пика с $2\theta = 41.5$; 37.8° , которые не наблюдаются в исходном β —CoPc и которые указывают на формирование новой кристаллической решетки соединения [MPc-xNa]. На дифрактограмме 2 отсутствуют линии металлического кобальта. Это значит, что в ферромагнитных образцах [CoPc-xNa] либо нет кристаллитов металлического кобальта, либо если они есть, тоих размеры меньше, чем разрешающая способность установки (менее 100 Å). Из этого факта следует важное заключение, касающееся природы: ферромагнетизма этих соединений.

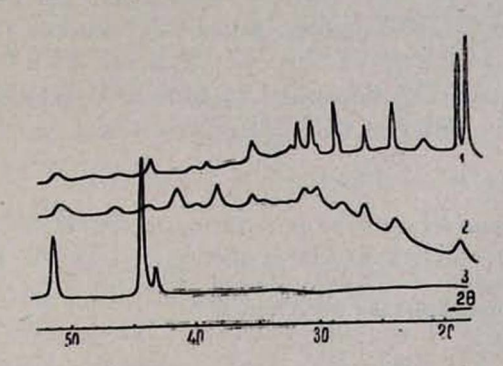


Рис. 4. Дифрактограммы исходного β -Со-Рс (кривая 1), после допировапия Na (2), после термического разложения—(3).

Известно, что гистерезис кривых намагничивания ферромагнитных соединений обусловлен ферромагнитными доменами и изменениями их размеров и ориентацией в процесс намагничивания и размагничивания. Минимальные линейные размеры доменов металлического $Co \sim 200\,\text{Å}$ [7, 8], а частицы Co с размерами меньше 100 Å являются суперпарамагнетиками, в которых гистерезис отсутствует. Наблюдение гистерезиса в образцах [CoPc-xNa] [2, 3] с одной стороны и отсутствие кристаллитов металлического Co с размерами более 100 Å с другой, приводит к выводу, что ферромагнетизм исследуемых образцов обусловлен структурой органического соединения, а не кристаллитами металла. Другие вкспериментальные факты, подтверждающие этот вывод, обсуждались нами ранее в работах [2, 3].

ЛИТЕРАТУРА

- 1. Арутюнян А. Р., Григорян Л. С., Шароян Э. Г. Авторские свидетельства СССР, №№ 1385583, 1385584, 1385585, 1385586 (1987).
- 2. Арутюнян А. Р., Григорян Л. С., Шароян Э. Г. Препринт ИФИ-87-126 (1987).
- 3. Harutnynyan A. R., Grtgoryan L. S. Sharoyan E. G. Materials Science 14, 121 (1988).
- 4. Gouterman M., Edwards L. J. Molec. Spectr. 33, 292 (1970).
- Сидоров А. И. Ж. Структ. химин, 14, 255 (1973).
- 6. Русаков А. А. Рентгенография металлов, ч. II, Москва, МИФИ, 1969,с. 63-117.
- 7. Петров Ю. И. Физика малых частиц, Изд. Наука, М., 1982, с. 160-214.
- 8. Петров Ю. И. Кластеры и малые частицы. Изд. Наука, М., 1986, с. 314—332.

ՄԻԱՐՅՈՒՐԵՂՆԵՐԻ ՍՏԱՑՄԱՆ ԵՂԱՆԱԿՆԵՐԸ, ՆԱՏՐԻՈՒՄՈՎ ԴՈՊԻՐԱՑՎԱԾ ՄԵՏԱՂԱՖՏԱԼՈՑԻՆԻՆՆԵՐԻ ՎՐԱ ՀԻՄՆՎԱԾ ՖԵՐՐՈՄԱԳՆԻՍԱԿԱՆ ՄԻԱՑՈՒԹՅՈՒՆՆԵՐԻ ՕՊՏԻԿԱԿԱՆ ԵՎ ՌԵՆՏԳԵՆՅԱՆ ՀԵՏԱԶՈՏՈՒԹՅՈՒՆՆԵՐԸ

t. s. gumasut, v. 4. upvatsut, v. v. pbrasut, 4. t. gumasut

Մշակված է երկու մենոդ մետաղֆտալոցիանիների և ալկալիական մետաղների վրա հիմնված միարյուրեղների ստացման համար։ Հետաղոտված են 3— CoP-ի բազմաբյուրեղ ճմուշների և ֆերթոմադնիսական հատկունյուններ ցուցաբերող միացունյունների օպտիկական և ռենտդենյան սպեկտրները, որոնը ստացվում են — CoPc ի ճատրիով դոպիրացման և ջերմային բալջայման ժամանակ համապատասխանաբար։

METHODS OF MONOCRYSTAL GROWTH. OFFICAL AND X-RAY STRUCTURE INVESTIGATIONS OF FERROMAGNETIC COMPOUNDS BASED ON SODIUM DOPED METALPHTALOCYANINE

E. G. SHAROYAN, M. V. SIMONYAN, S. S. TERZYAN, V. E. SHAROUAN

To obtain the monocrystals based on metalphtalocyanines and alkaly metals, two methods were developed. Optical and X-ray spectra of samples of polycrystalline β-CoPc and of ferromagnetic compounds obtained at the doping of β-CoPc with sodium and at their thermal decomposition were studied,

Изв. АН Армении, Физика, т. 26, вып. 2, 82-87 (1991)

УДК 669.15'24'26:548.313.3:538.13

ТОНКАЯ КРИСТАЛЛИЧЕСКАЯ И МАГНИТНАЯ СТРУКТУРЫ СПЛАВОВ ПРИ КОНЦЕНТРАЦИОННОМ ПЕРЕХОДЕ Ni_3Fe — Ni_3V

А. Д. ГЕЗАЛЯН, В. И. ГОМАНЬКОВ, Б. Н. ТРЕТЬЯКОВ, В. В. СУМИН

Институт прецизионных сплавов ЦНИИЧМ им. И. П. Бардина (Поступила в редакцию 15 мая 1990 г.)

С гомощью нейтроноструктурного анализа и измерений магнитной воспринмчивости получены концентрационные зависимости параметров дальнего атомного порядка сверхструктур Ni_3Fe и Ni_3V , а также температур Кюри и «замерзания» спинового стекла. Установлено, что концентрационный структурный переход проходит по механизму зарождения и роста соответствующих упорядоченных фаз, а развитие ферромагнетизма начинается с образования кластерного спинового стекла из зародышей свехструктуры Ni_3Fe .

Магнитные и механические свойства, а также электросопротивление оплавов разреза $Ni_{s}Fe$ — $Ni_{3}V$ изучались в работе [1] при Т-300 К с точки врения возможного образования θ -фазы и ее влияния на свойства сплавов. Зарождение θ -фазы и переход к сверхструктуре $Ni_{s}V$ наблюдались непосредственно нейтронографически [2] при широком концентрационном шаге и поэтому детали перехода, структурные и магнитные состоя-